

1/23

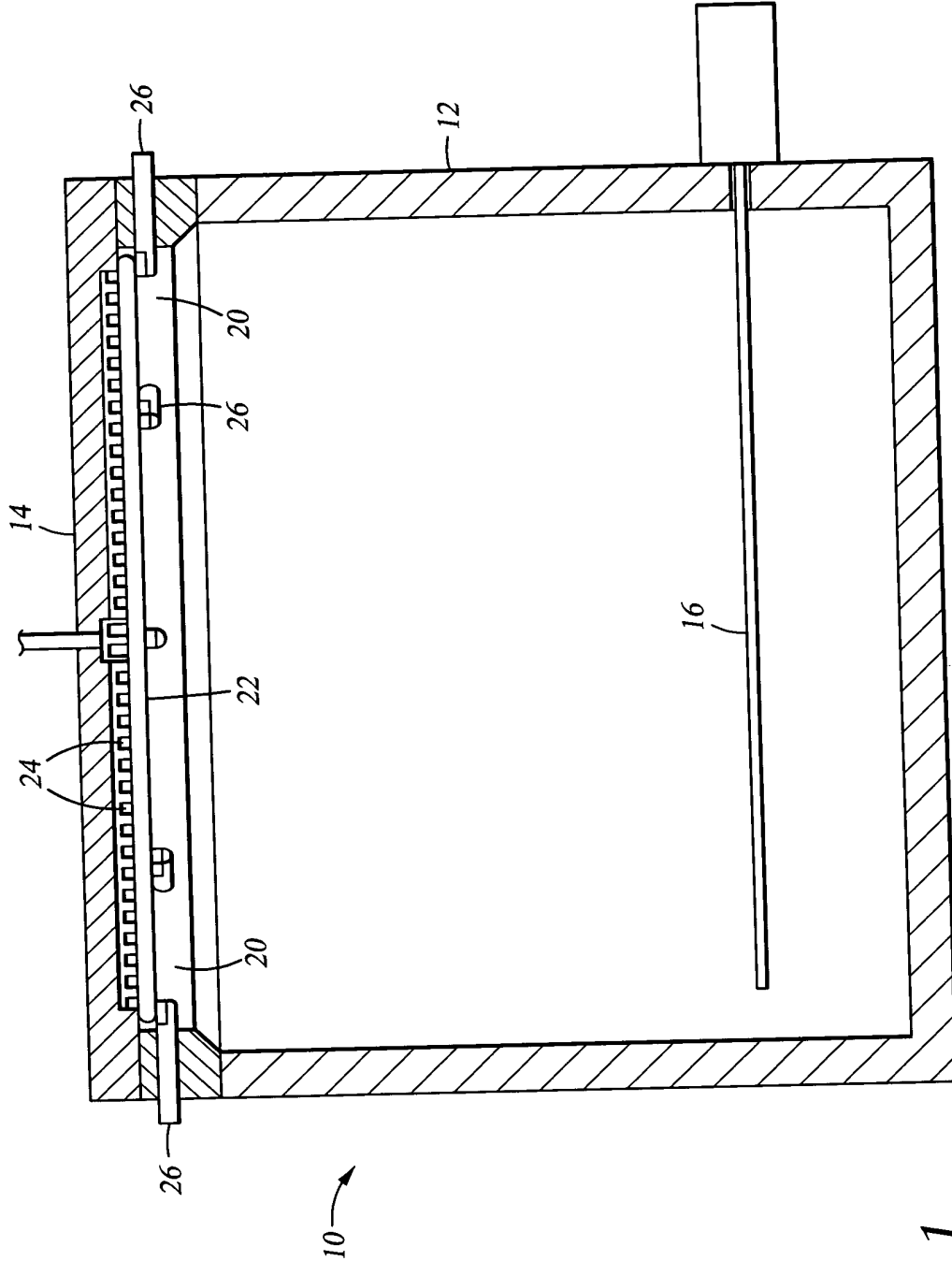
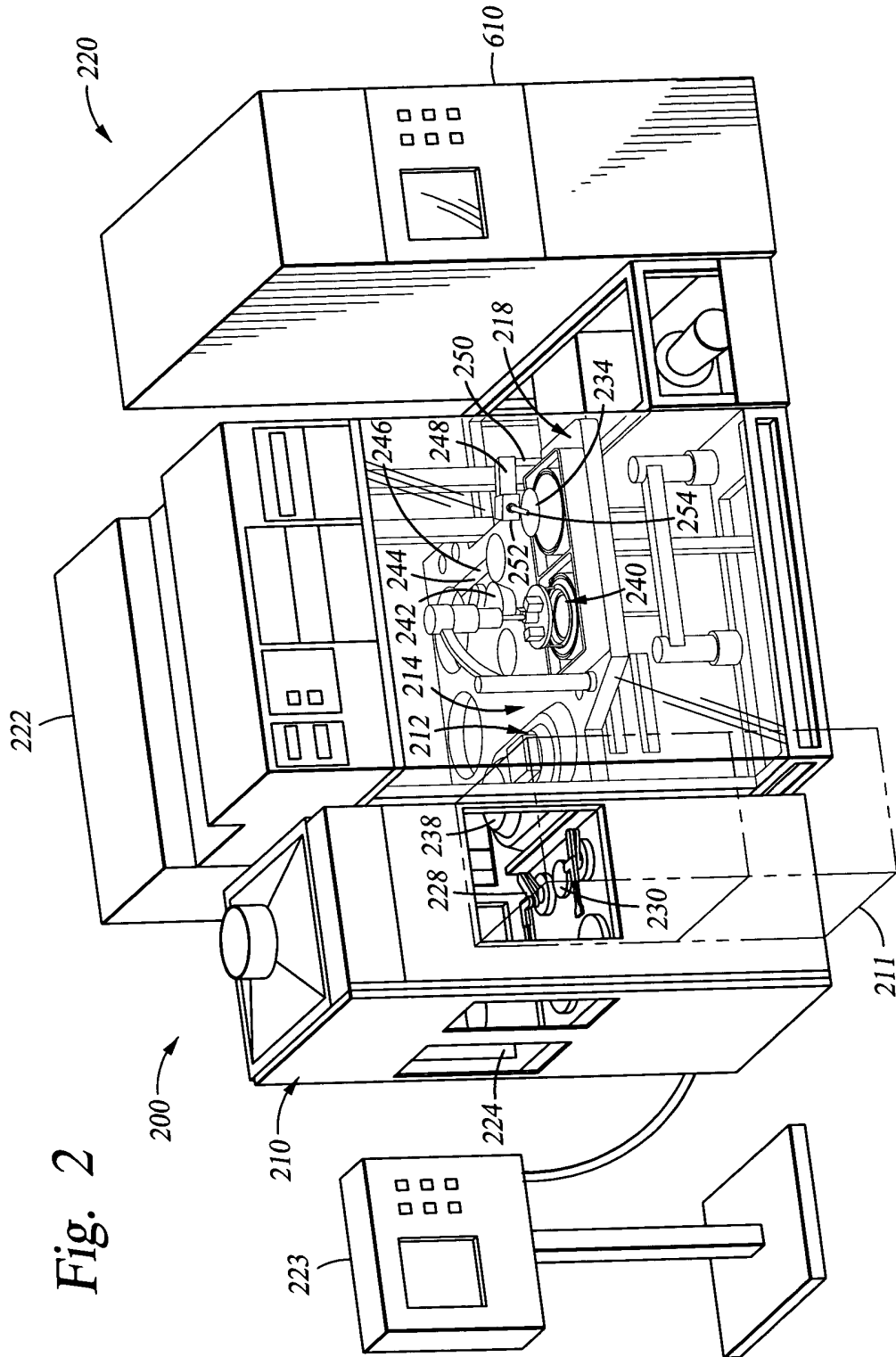


Fig. 1
(PRIOR ART)

2/23



3/23

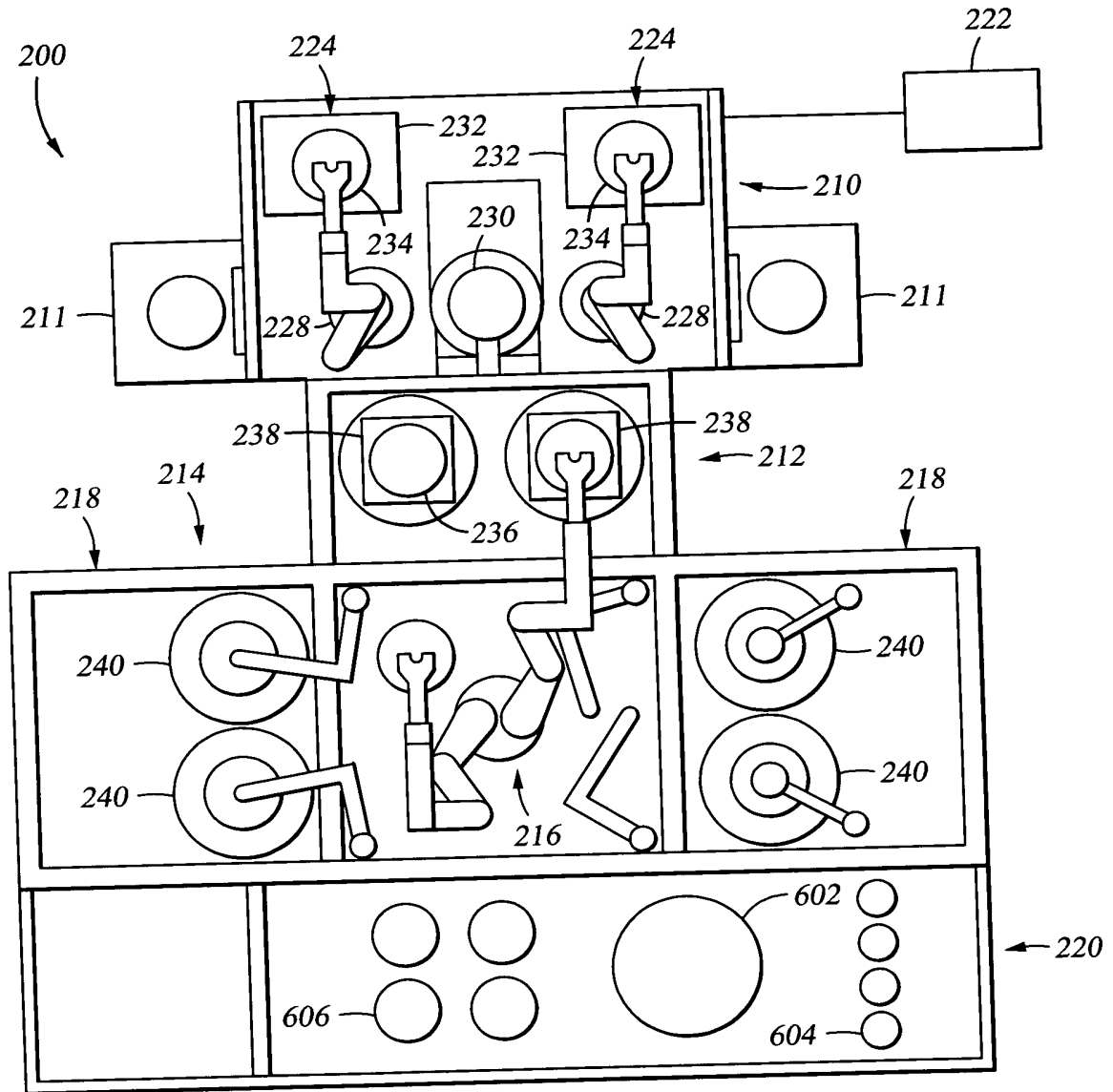


Fig. 3

4/23

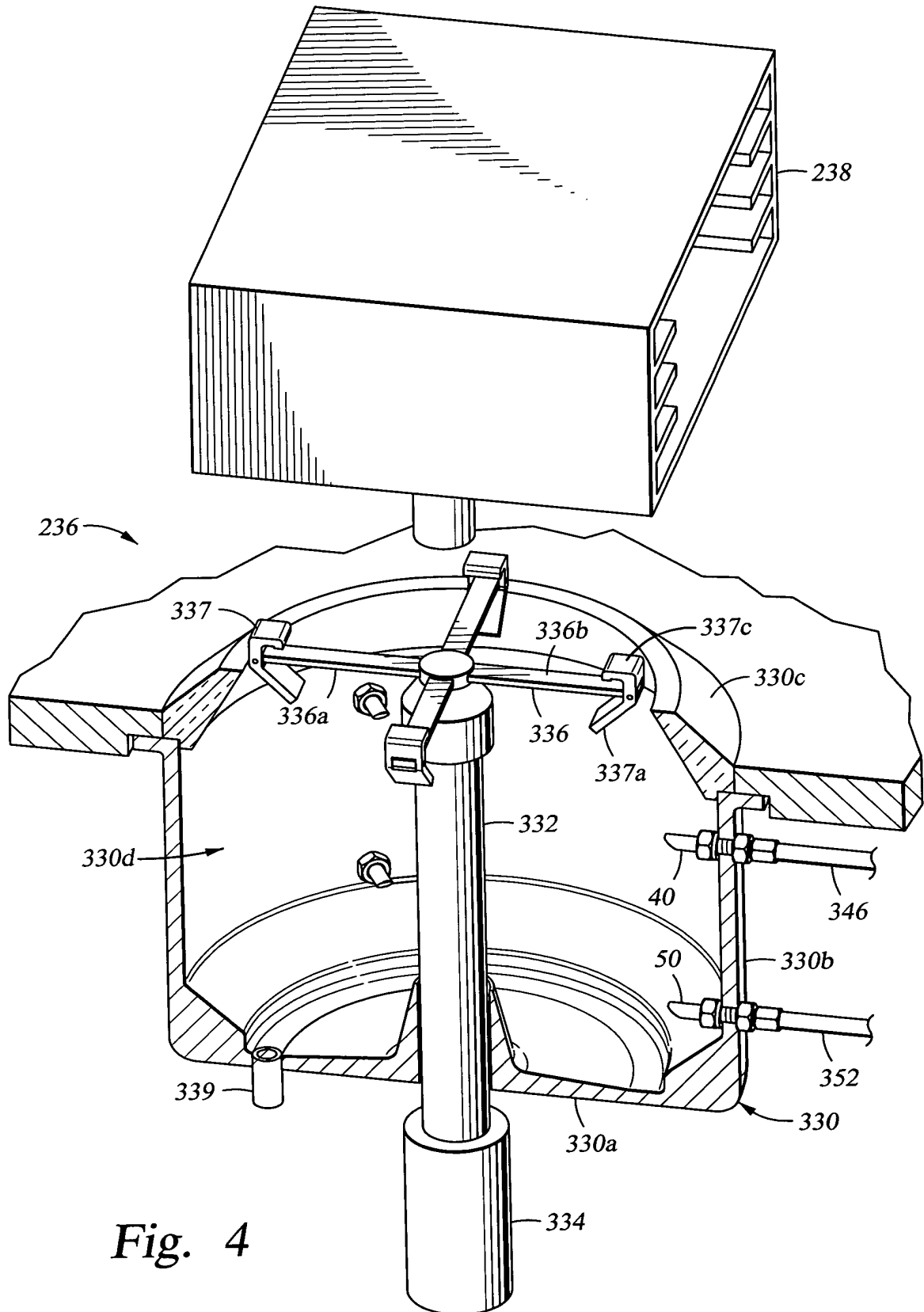
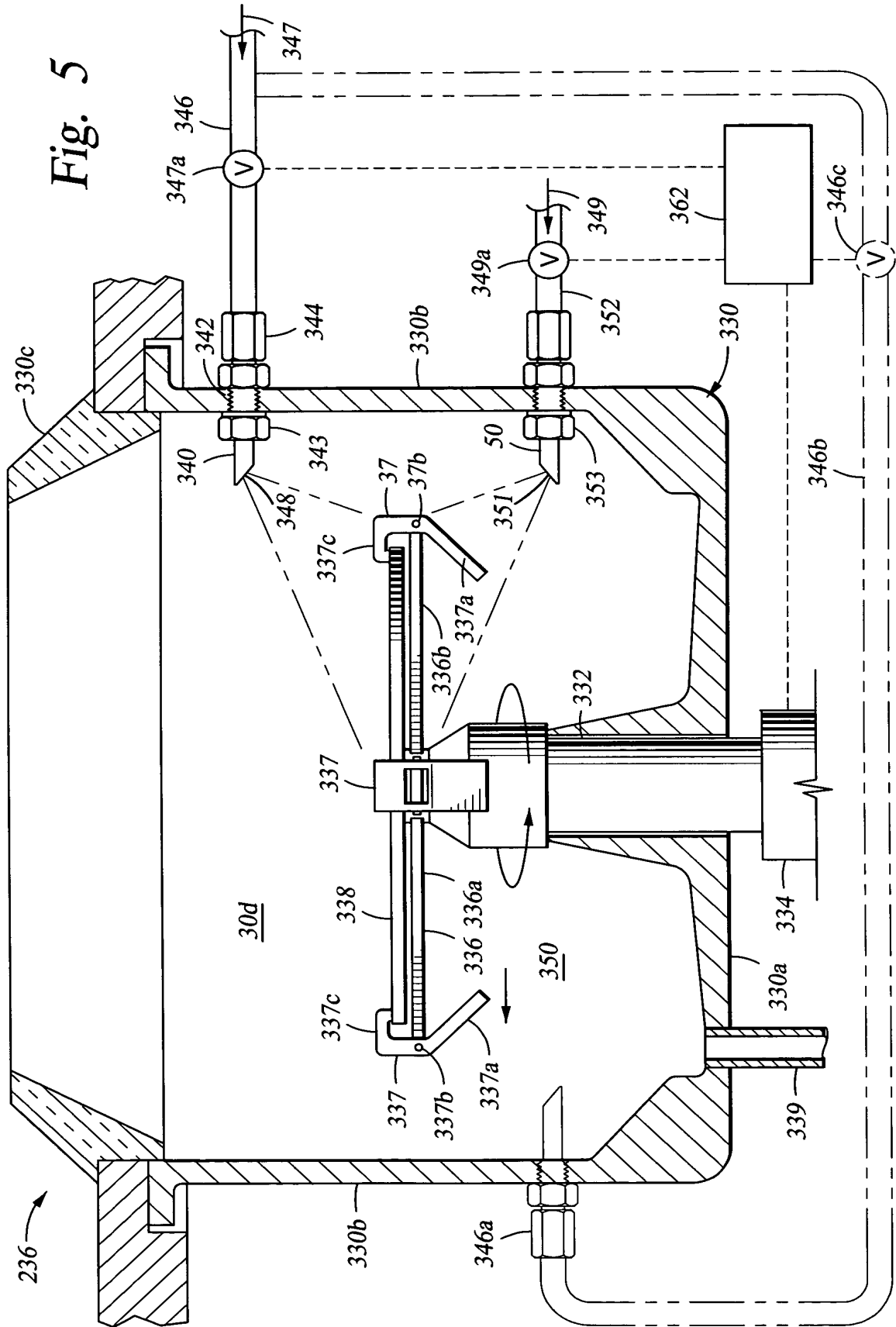


Fig. 4

5/23



6/23

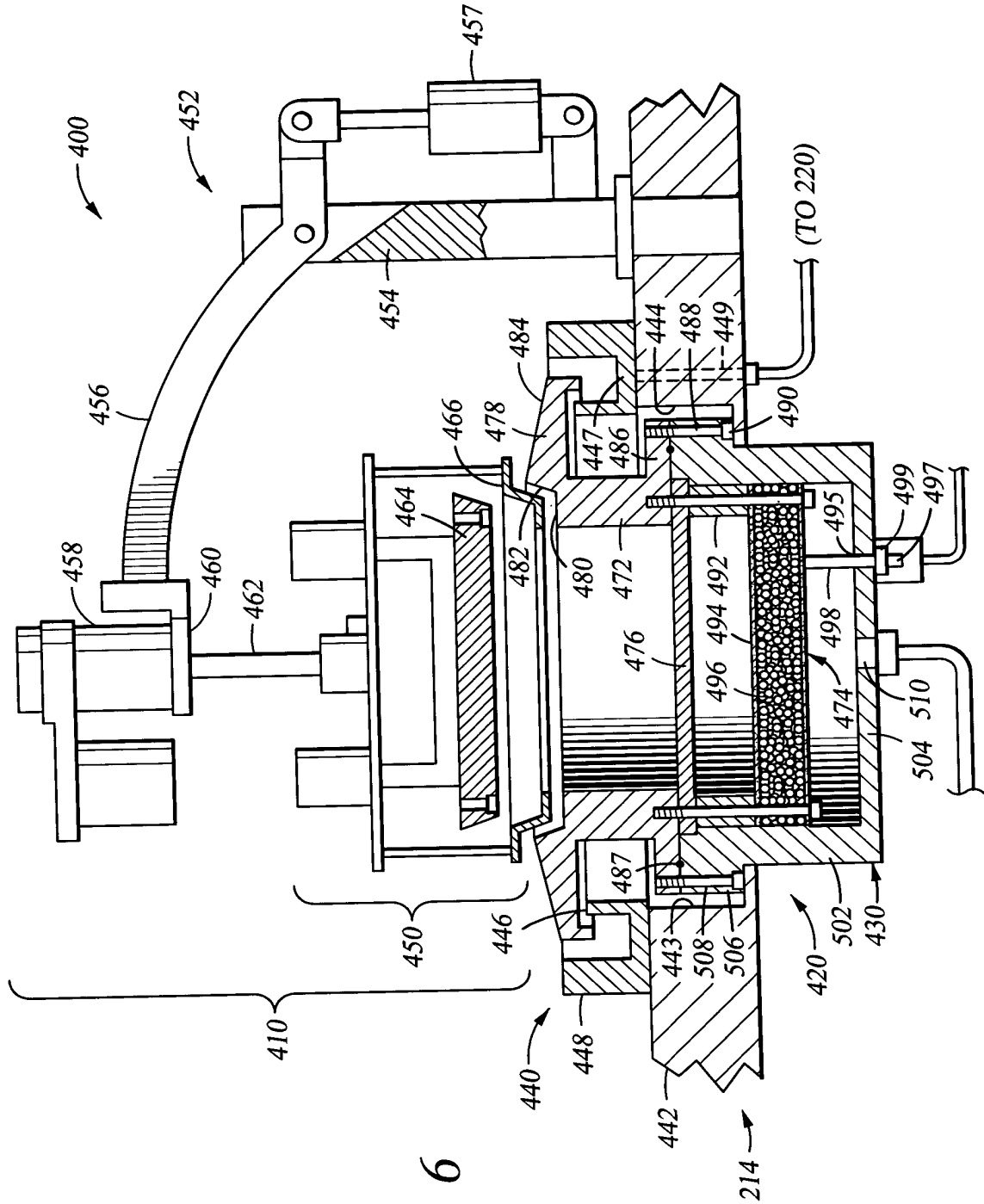
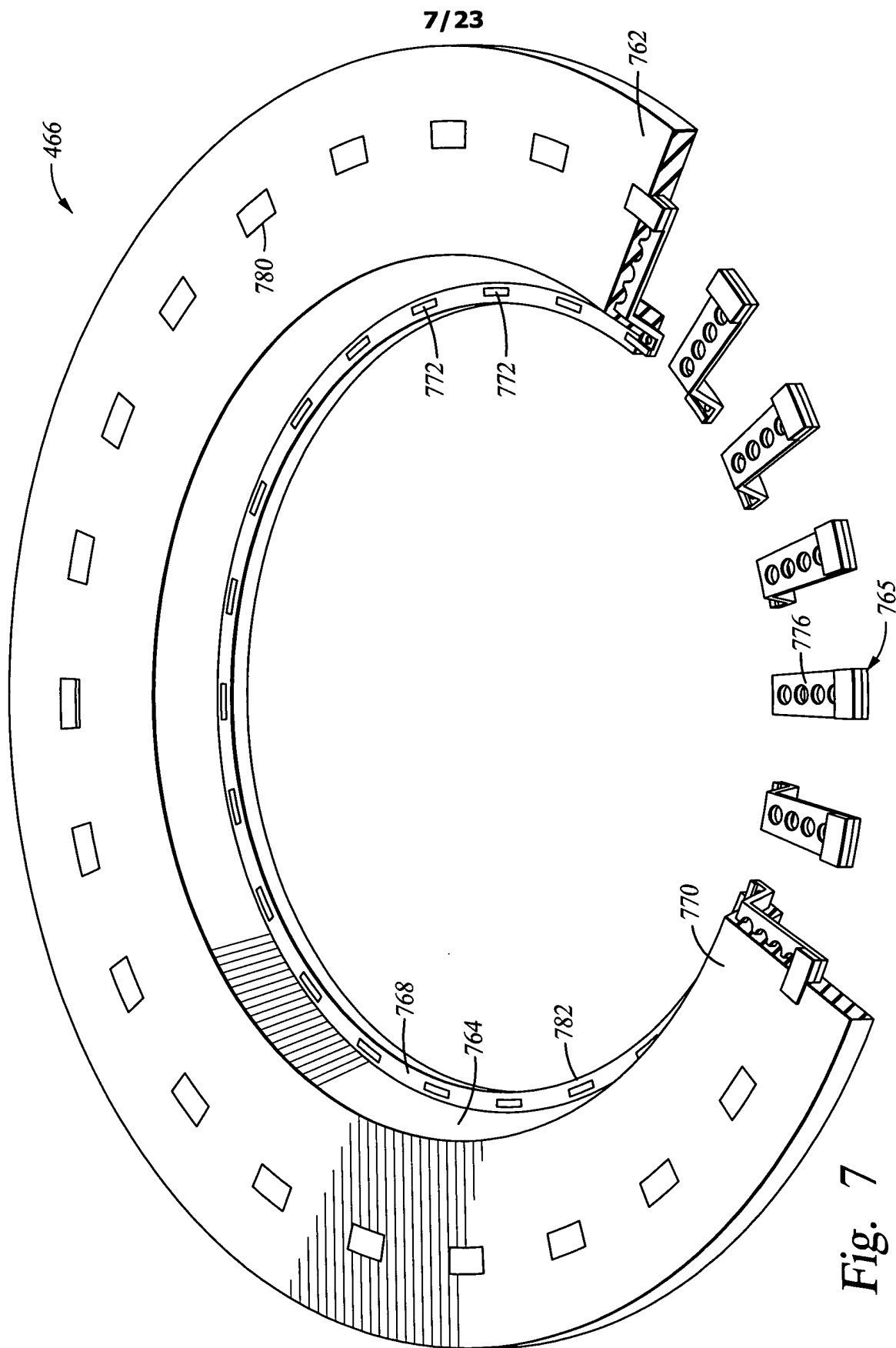


Fig. 6



8/23

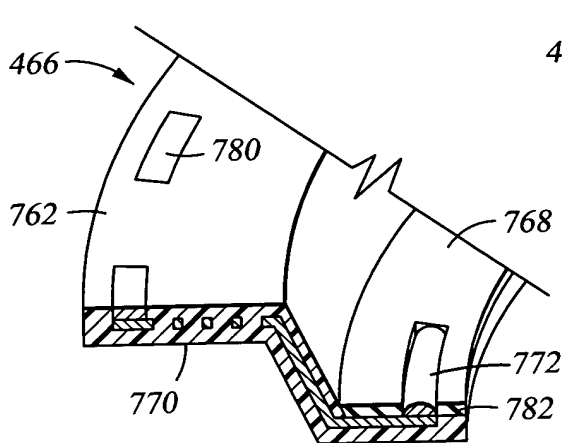


Fig. 8

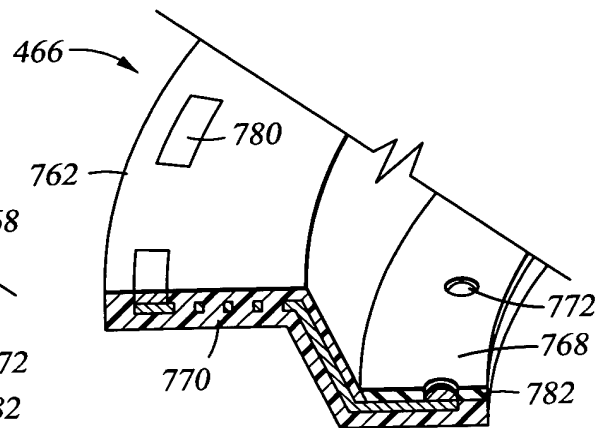


Fig. 9

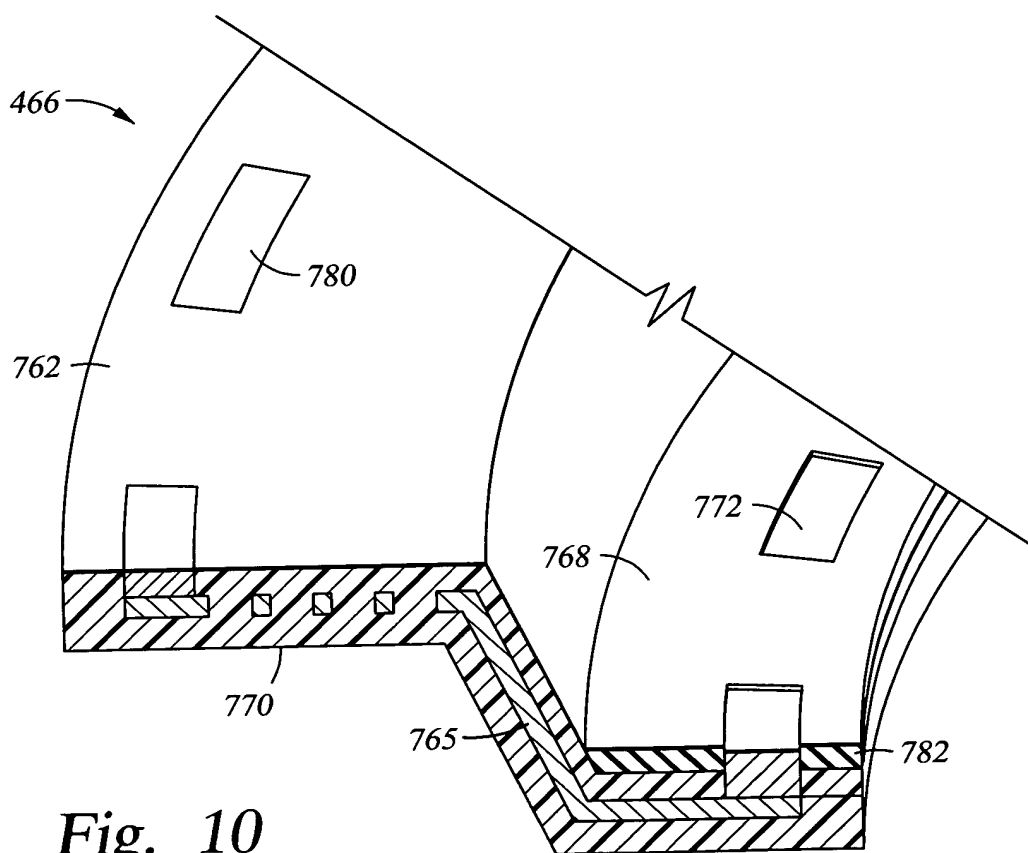


Fig. 10

9/23

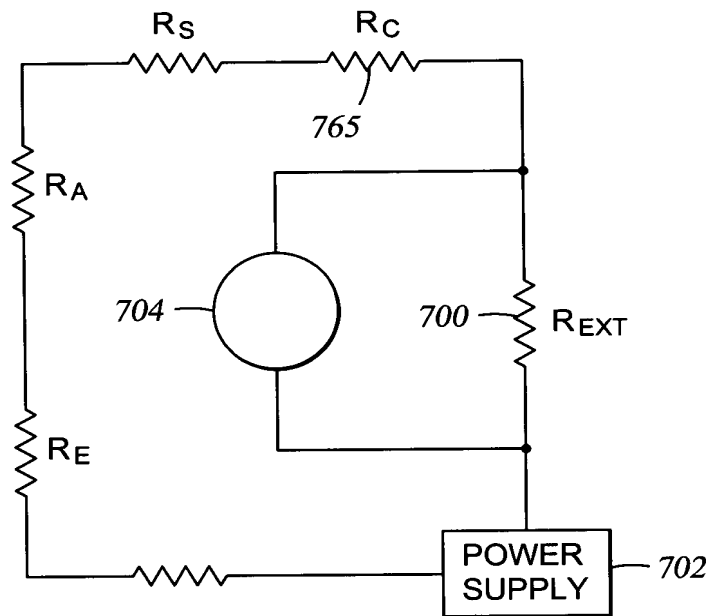


Fig. 11

10/23

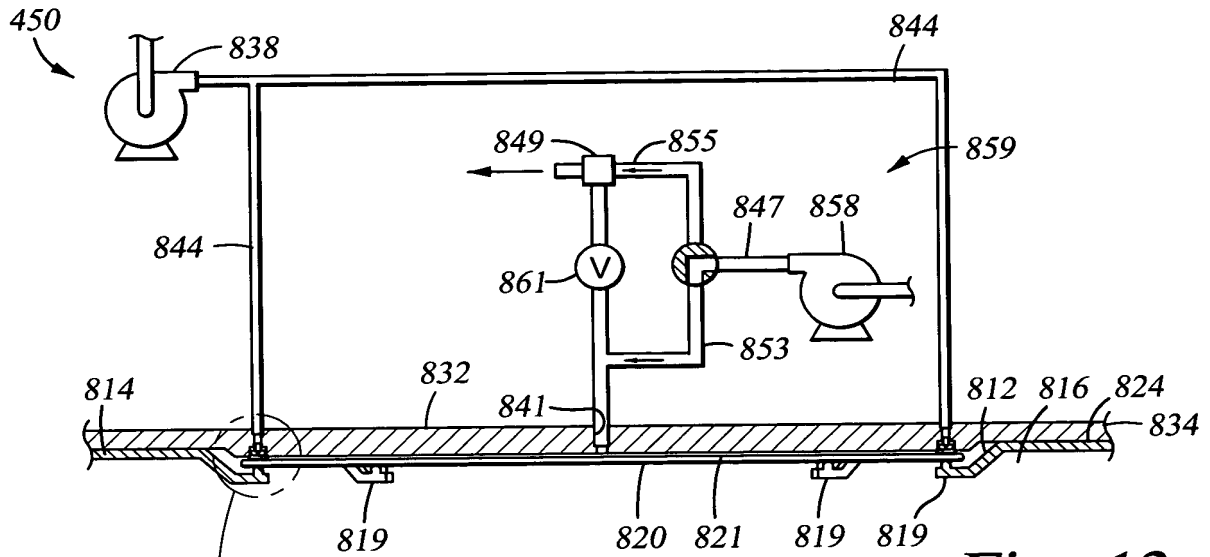


Fig. 12

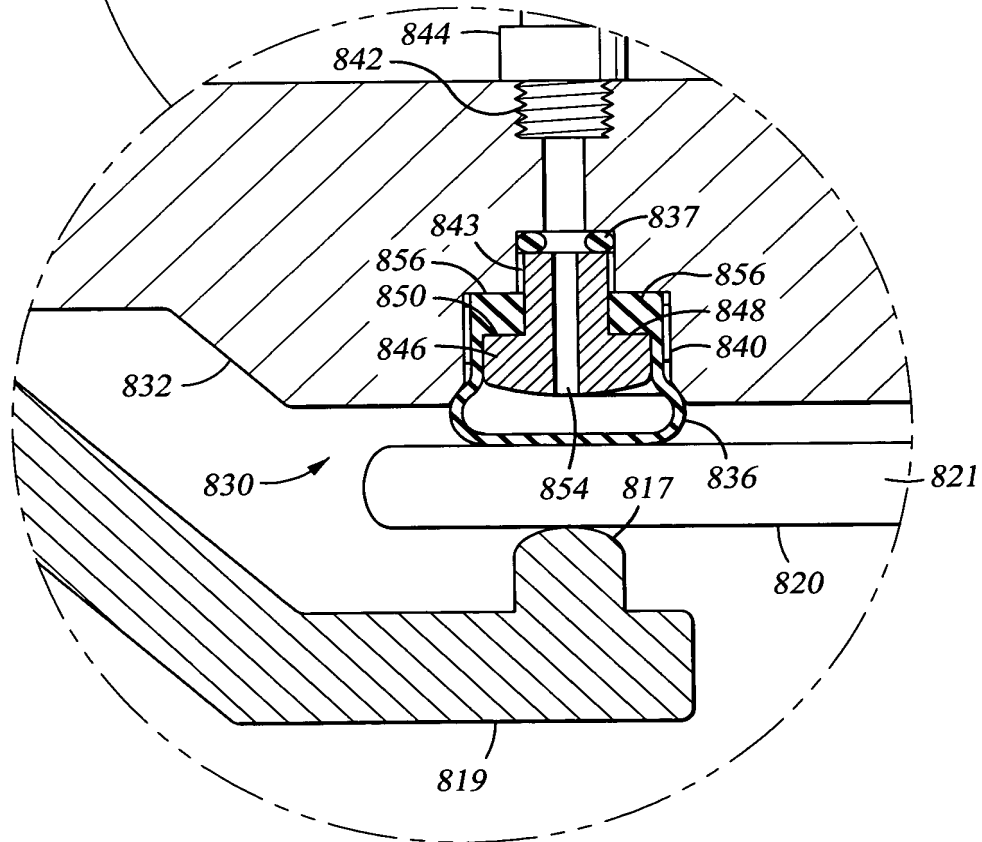
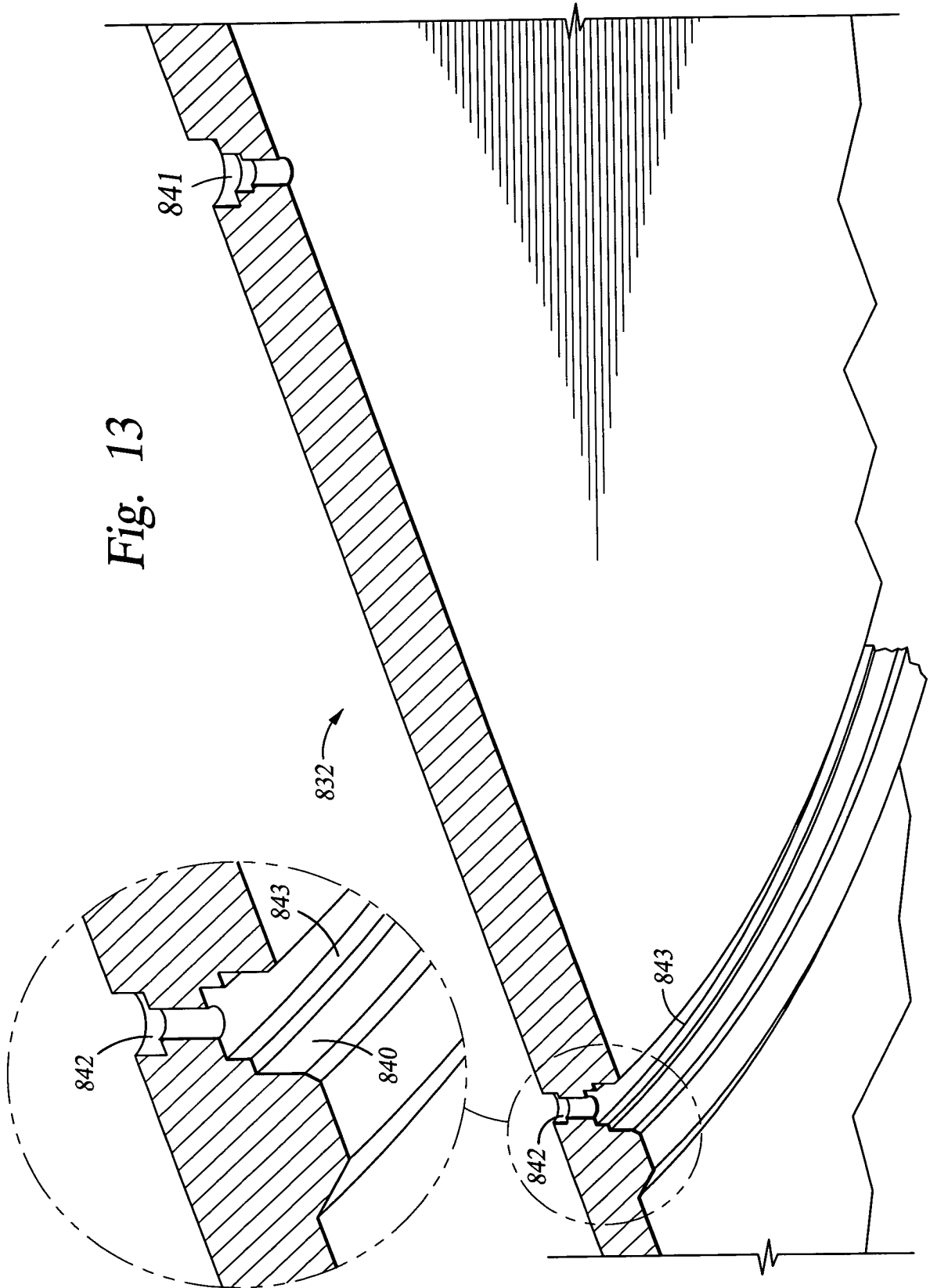


Fig. 12A

11/23



12/23

Fig. 14

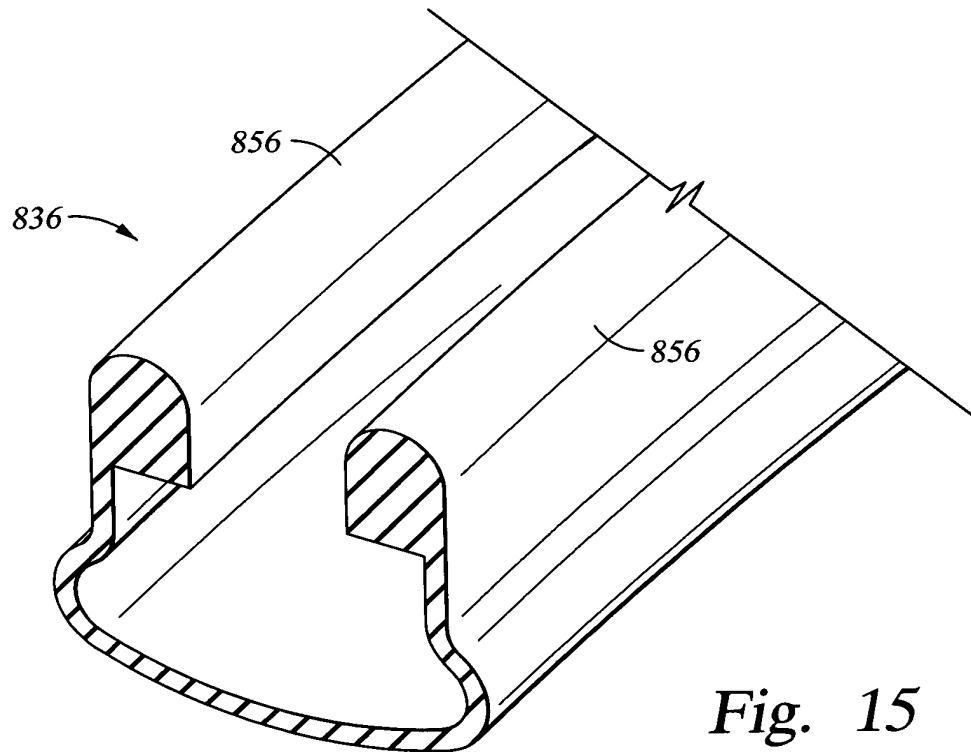
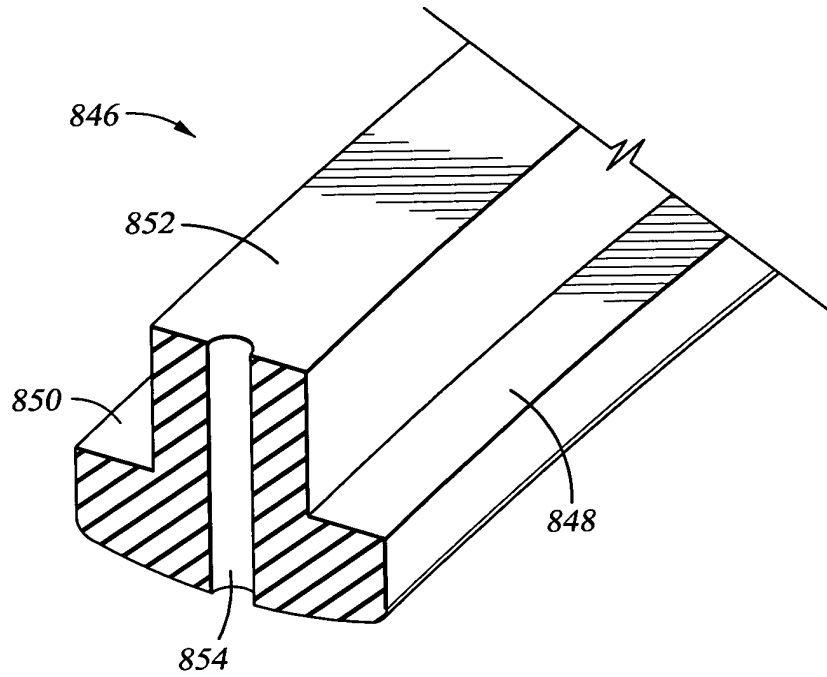


Fig. 15

13/23

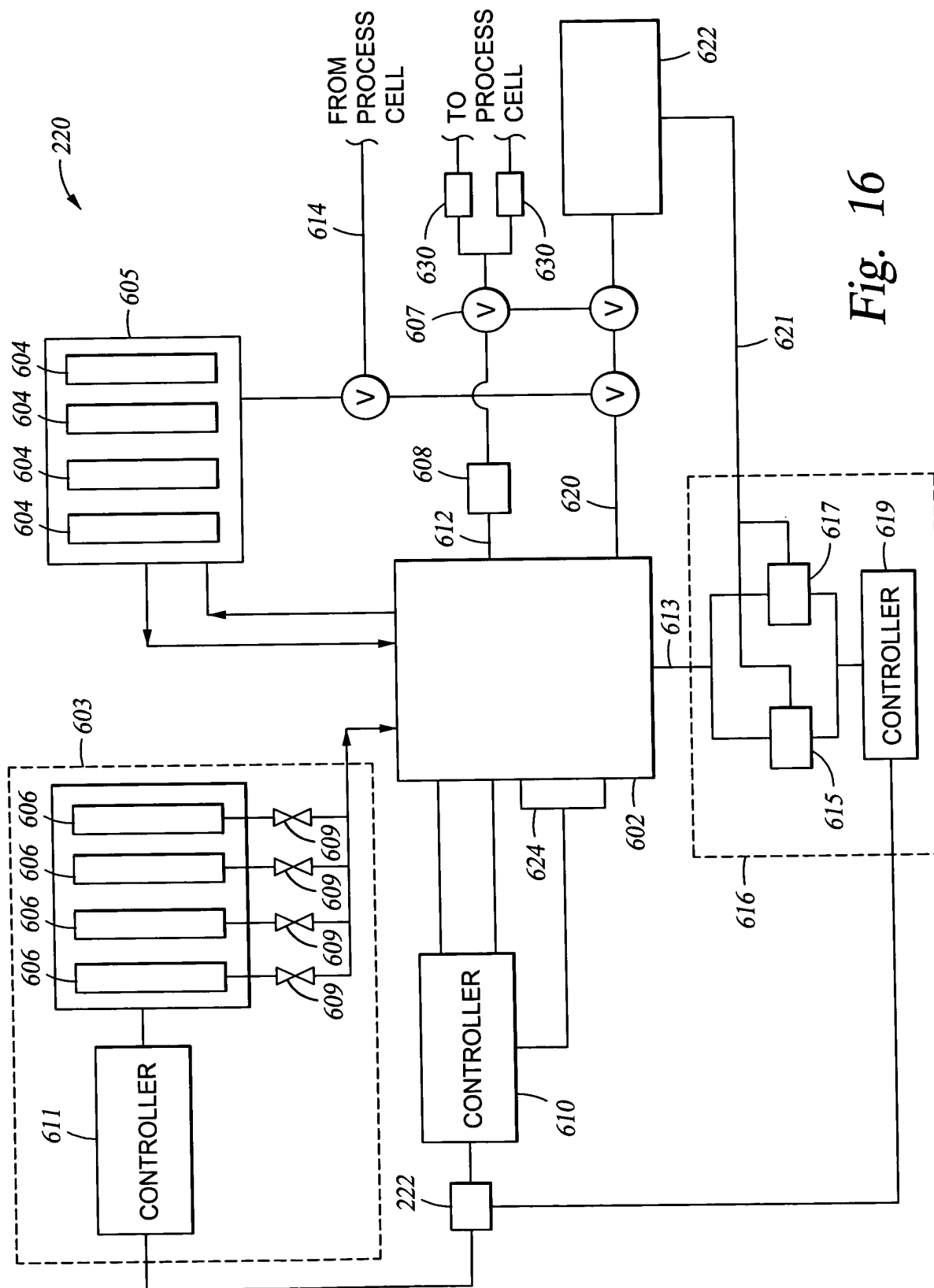
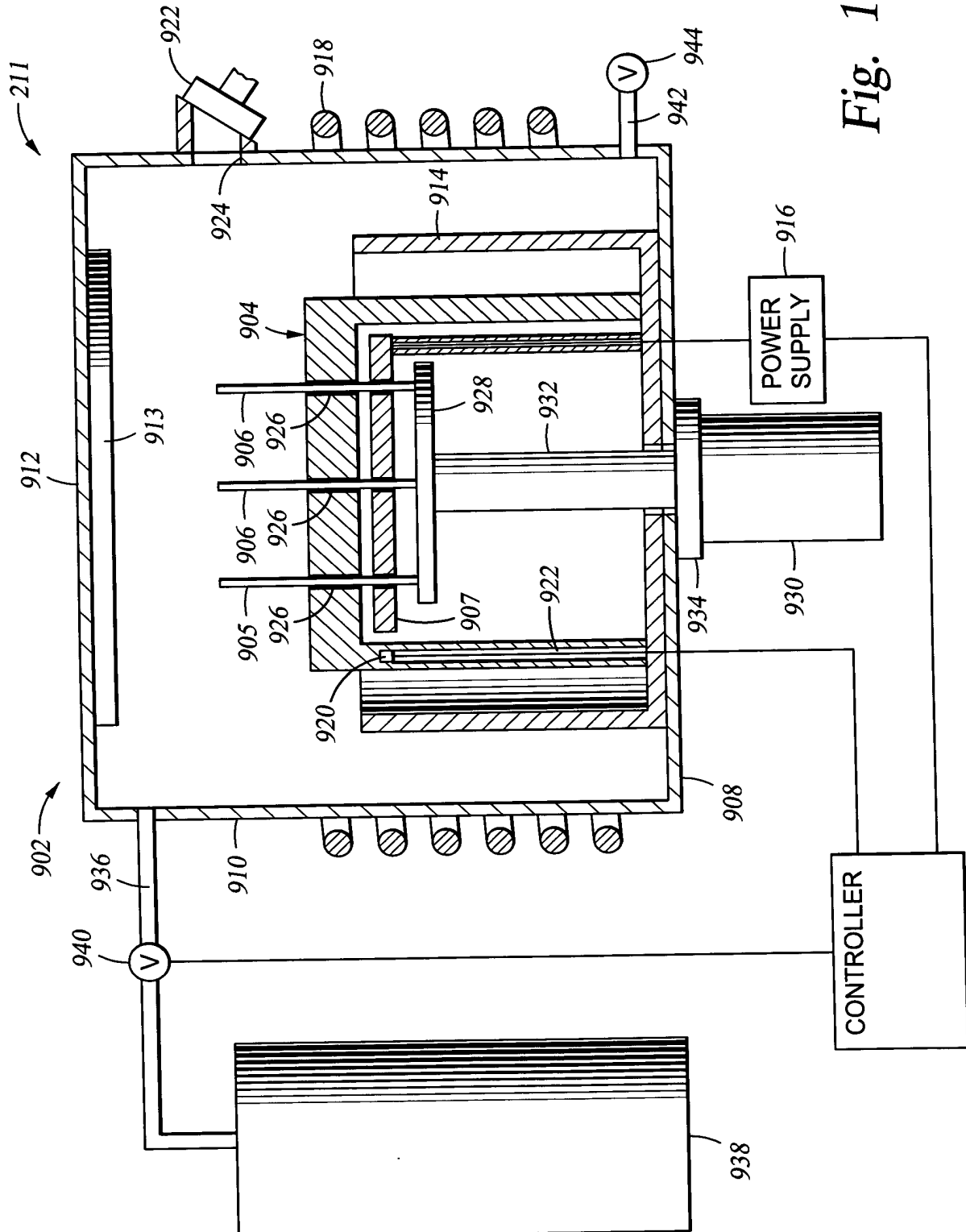


Fig. 17



15/23

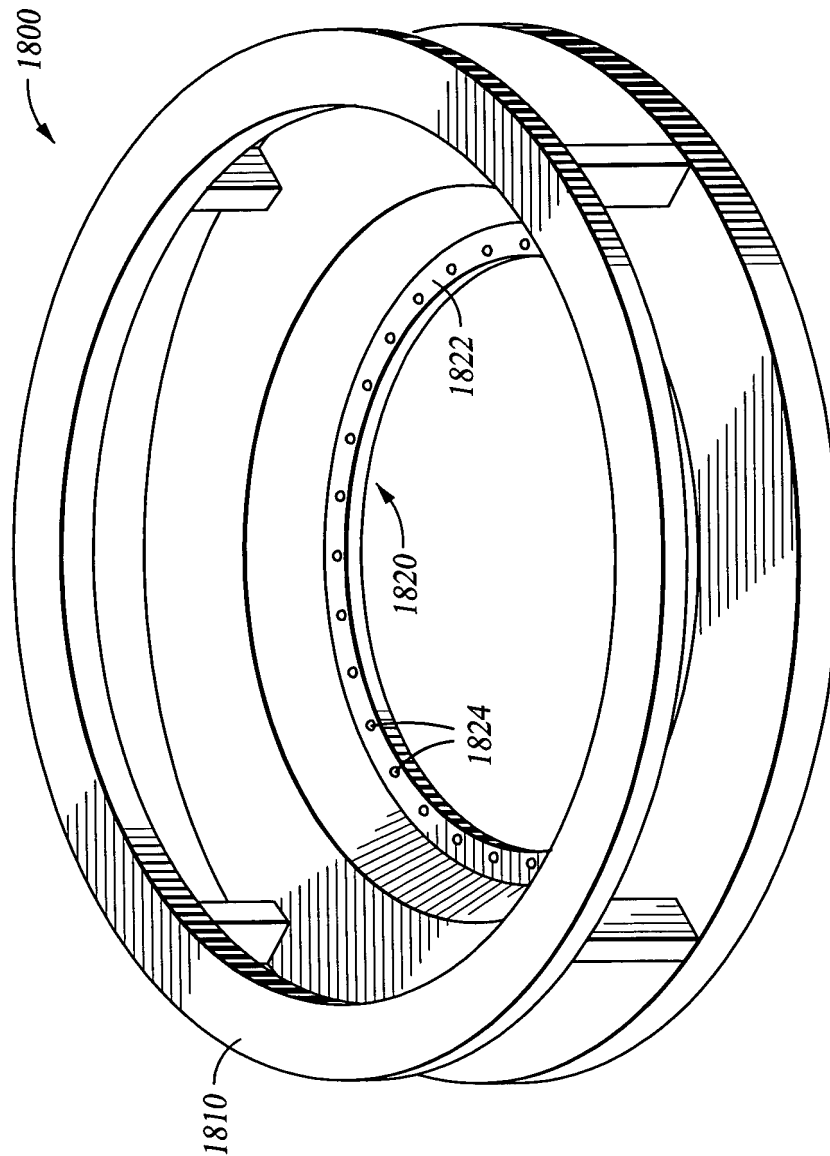


Fig. 18

17/23

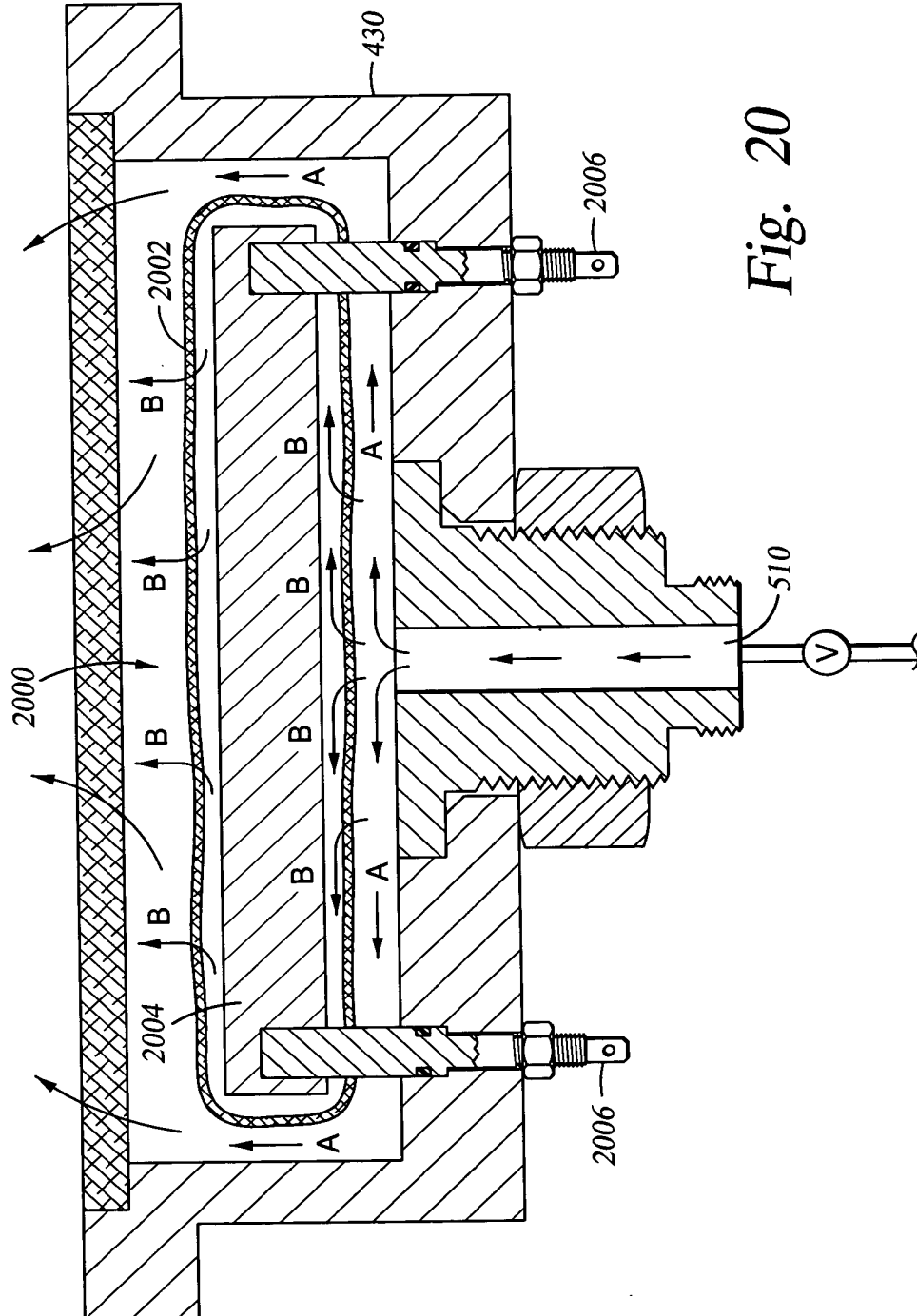


Fig. 20

18/23

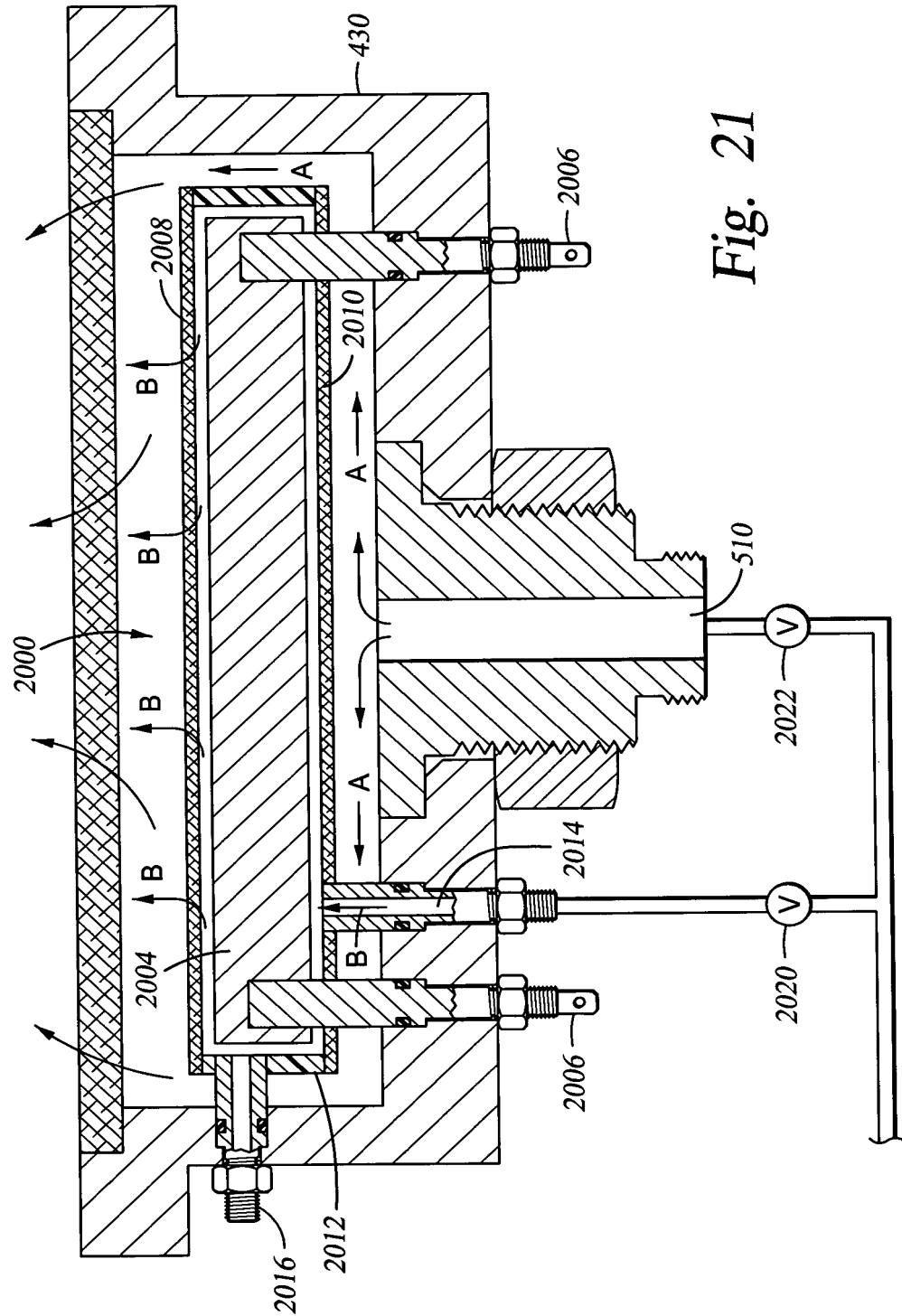


Fig. 21

19/23

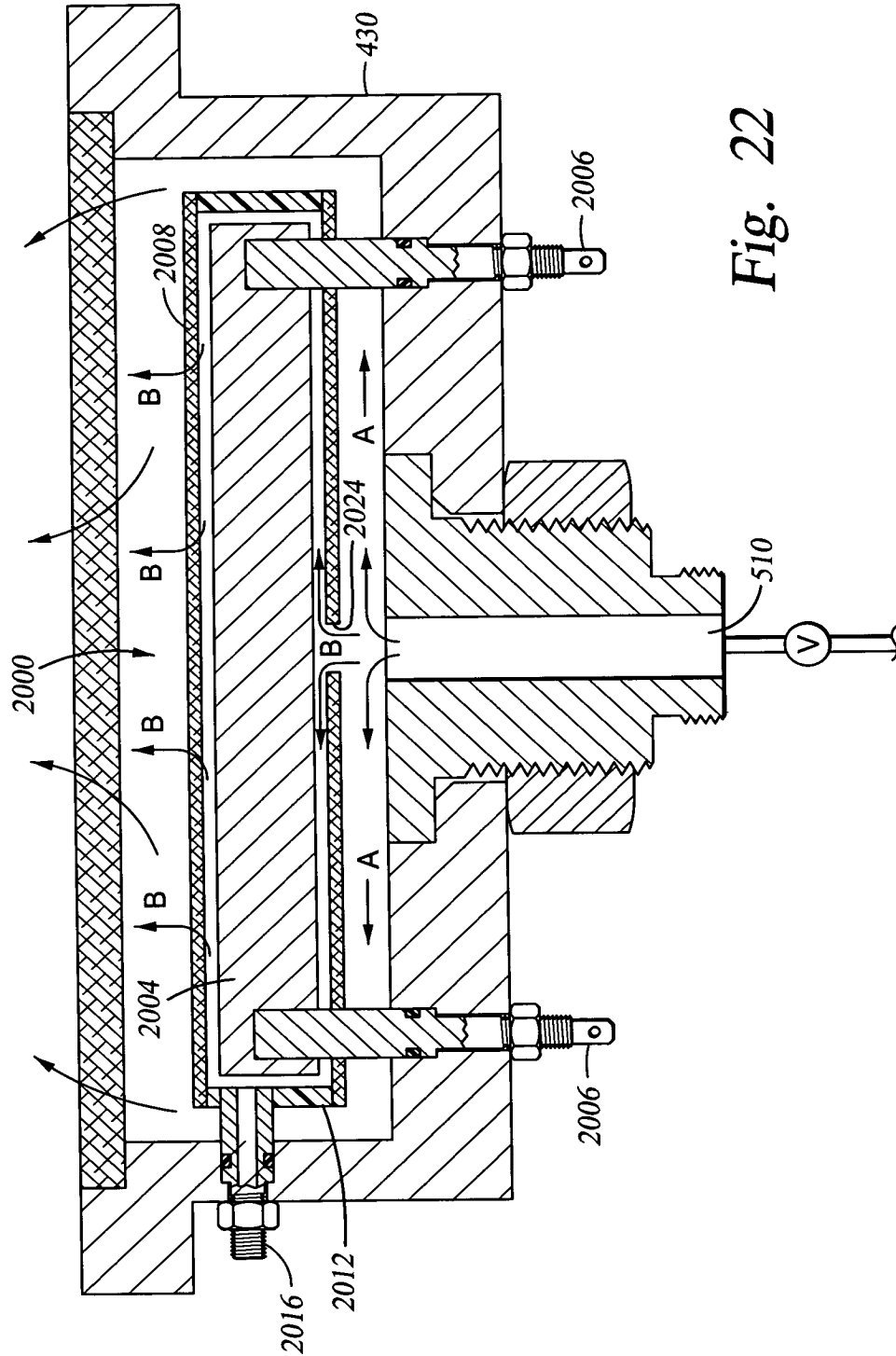


Fig. 22

20/23

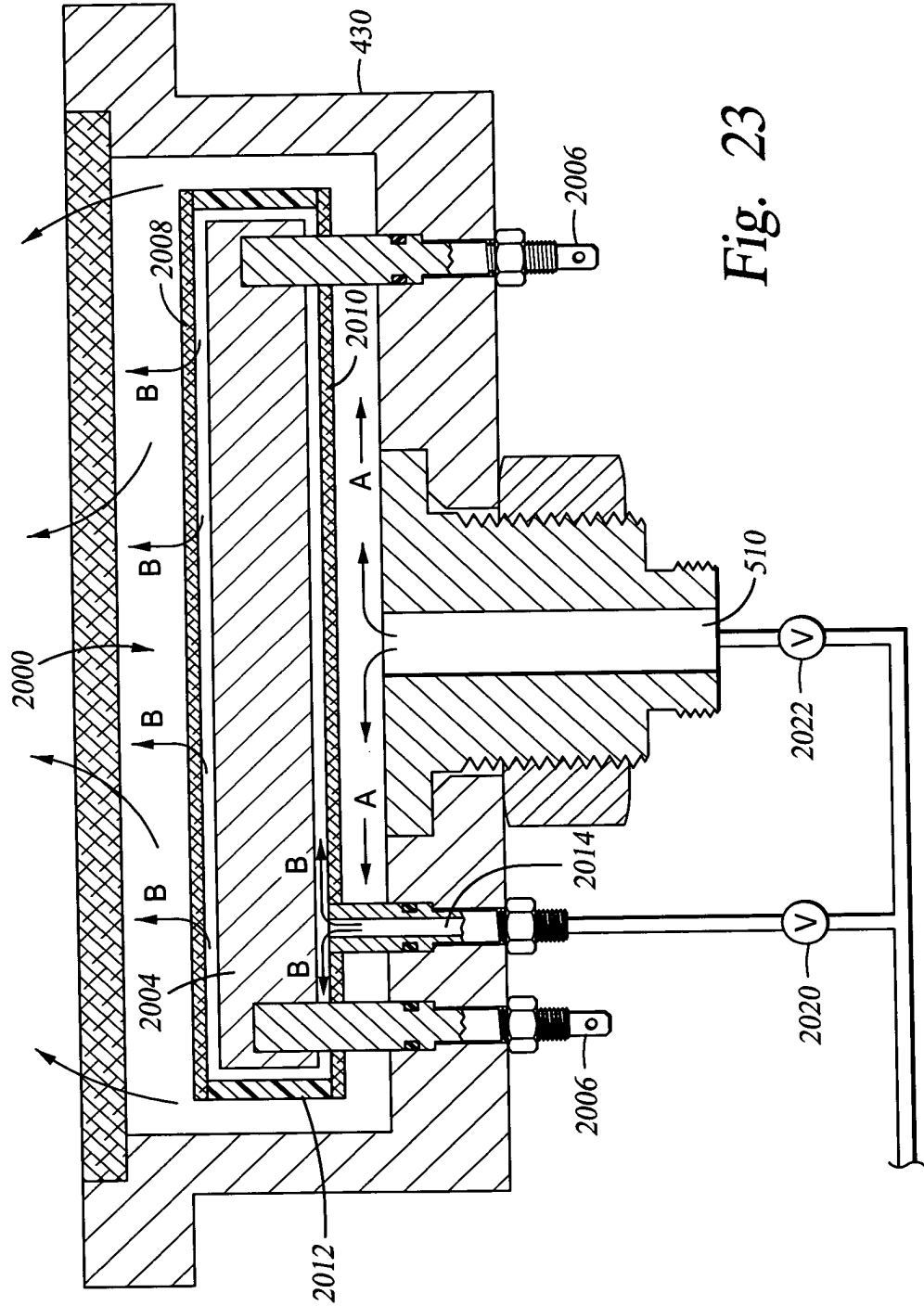


Fig. 23

21/23

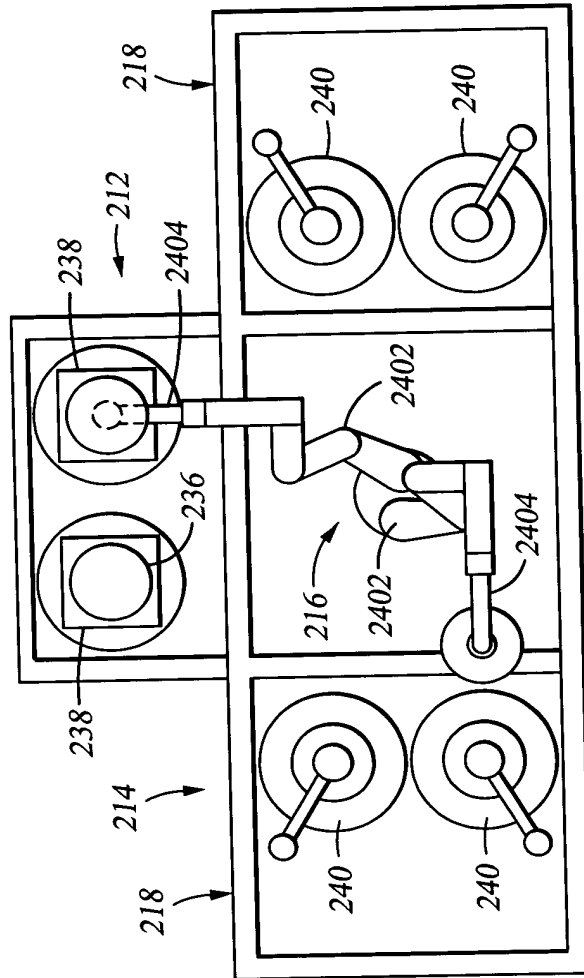
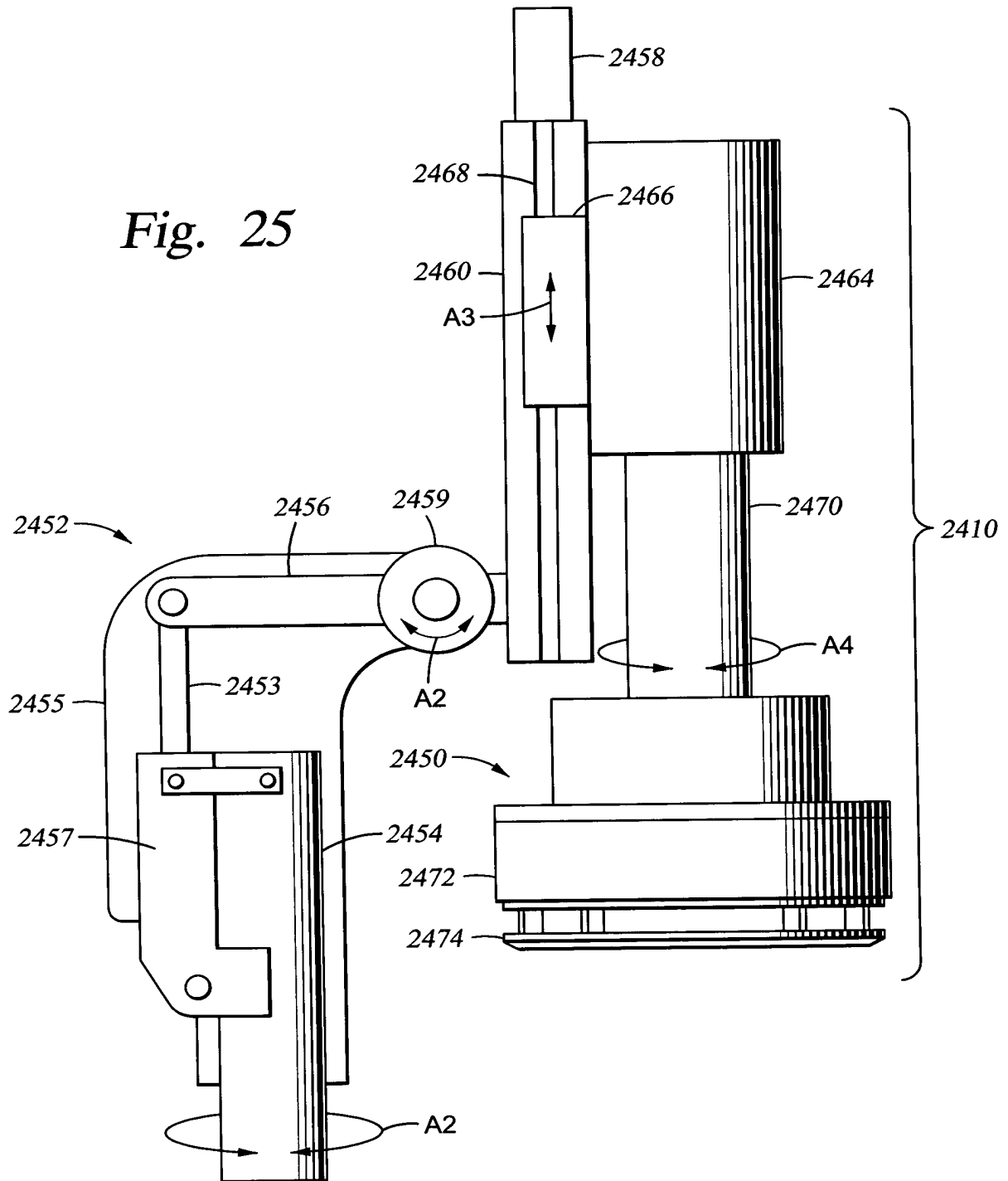


Fig. 24

22/23

Fig. 25



23/23

Fig. 26A

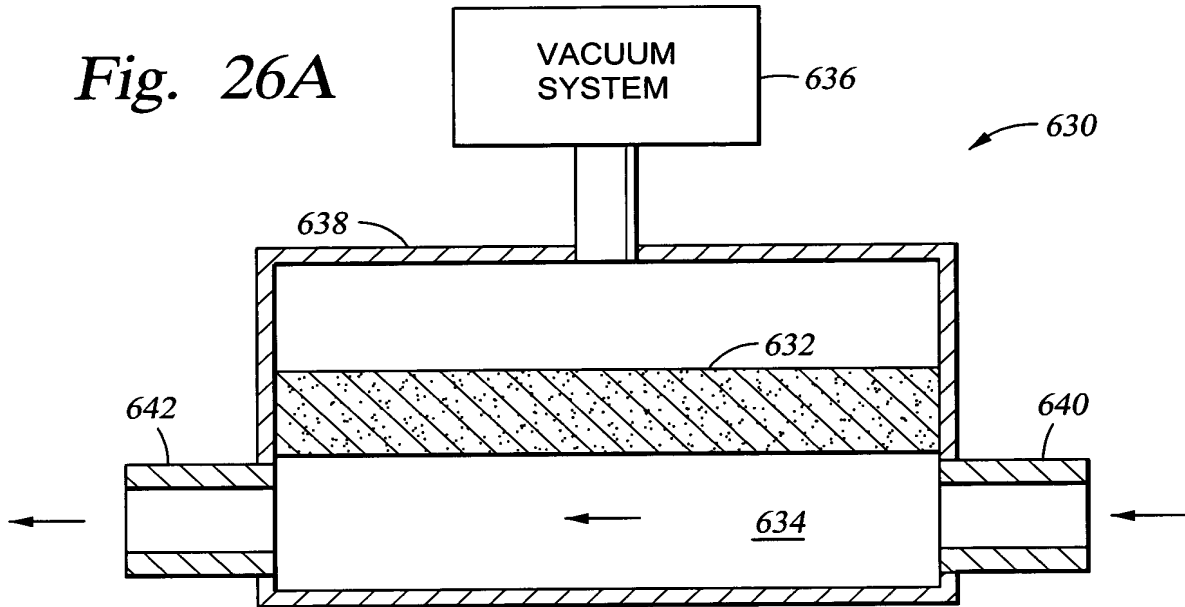


Fig. 26B

